

П.Т. Зубков¹, Г.М. Шёлковый², О.А. Якимова²

Тюменский Государственный Университет, Тюмень, Россия (1)

Тюменский Филиал Института Теоретической и Прикладной Механики СО РАН, Тюмень, Россия (2)

ВЛИЯНИЕ ПОДОГРЕВАЕМОЙ ВСТАВКИ НА ТЕЧЕНИЕ В ТРУБЕ

АННОТАЦИЯ

Численно исследуется влияние подогреваемой вставки в центре трубы на течение жидкости. Найдено, что с увеличением температуры на вставке, потери на перекачку изменяются нелинейно. Это позволяет найти такую температуру, при которой потери будут минимальны.

1. ФИЗИЧЕСКАЯ ПОСТАНОВКА ЗАДАЧИ

Рассматривается стационарное течение жидкости (например, масла) в круглой трубе. Если течение ламинарное, то имеется аналитическое решение. Если течение турбулентное, то, применяя модель турбулентности (например, $k - \epsilon$ модель Лаундера-Шарма [1]) в одномерном осесимметричном случае, снова получаем стабилизированное решение, которое описывает полностью развитое турбулентное течение. Добавим теперь в трубу одну вставку (см. рис. 1), считая при этом, что до вставки уже имеем стабилизированное течение, ламинарное или турбулентное. Очевидно, что вставка увеличит потери на перекачку. Таким образом, возникает задача: исследовать, как влияет вставка на перекачку. В турбу-

лентном случае добавление вставки приводит к уменьшению вязкости после вставки, т.к., в соответствии с моделью турбулентности, вязкость складывается из ламинарной и турбулентной, и турбулентная вязкость около неподвижных границ равна нулю. А вставка как раз и увеличивает площадь неподвижных границ. При этом т.к. вязкость уменьшается, то ожидается, что вставка уменьшит потери при перекачке. Также исследуется влияние подогрева вставки на турбулентные характеристики, т.к. с увеличением температуры вязкость уменьшается. Это может привести к уменьшению потерь. В то же время, турбулентные характеристики могут и увеличиться, и тогда потери возрастут.

2. МАТЕМАТИЧЕСКАЯ ПОСТАНОВКА ЗАДАЧИ

Задача рассматривается в осесимметричной двухмерной постановке, когда все характеристики зависят от продольной координаты x и радиуса r . Турбулентное течение описывается, в силу выбранной модели, следующими уравнениями.

$$\frac{\partial u}{\partial x} + \frac{\partial v}{\partial r} = 0,$$

$$\rho \left(u \frac{\partial u}{\partial x} + v \frac{\partial u}{\partial r} \right) = - \frac{\partial p}{\partial x} + \frac{\partial}{\partial x} \left((\mu + \mu_t) \frac{\partial u}{\partial x} \right) + \frac{1}{r} \frac{\partial}{\partial r} \left(r(\mu + \mu_t) \frac{\partial u}{\partial r} \right) + \frac{\partial}{\partial x} \left((\mu + \mu_t) \frac{\partial v}{\partial x} \right) + \frac{1}{r} \frac{\partial}{\partial r} \left(r(\mu + \mu_t) \frac{\partial v}{\partial r} \right) - S,$$

$$\rho \left(u \frac{\partial v}{\partial x} + v \frac{\partial v}{\partial r} \right) = - \frac{\partial p}{\partial r} + \frac{\partial}{\partial x} \left((\mu + \mu_t) \frac{\partial v}{\partial x} \right) + \frac{1}{r} \frac{\partial}{\partial r} \left(r(\mu + \mu_t) \frac{\partial v}{\partial r} \right) + \frac{\partial}{\partial x} \left((\mu + \mu_t) \frac{\partial u}{\partial x} \right) + \frac{1}{r} \frac{\partial}{\partial r} \left(r(\mu + \mu_t) \frac{\partial u}{\partial r} \right) - S,$$

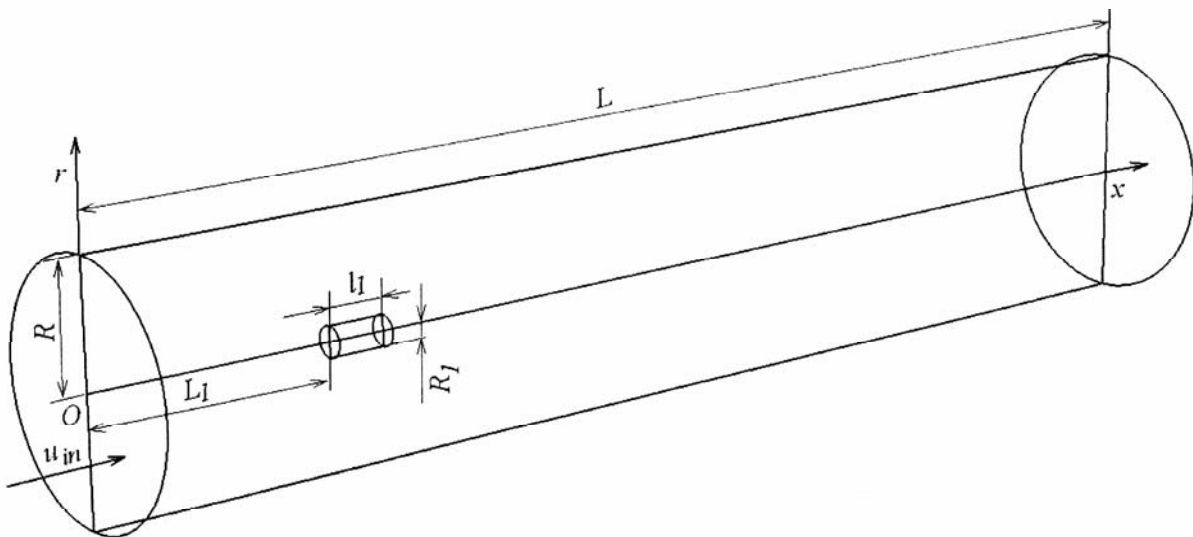


Рис. 1. Постановка задачи.

$$\rho \left(u \frac{\partial K}{\partial x} + v \frac{\partial K}{\partial r} \right) = \frac{\partial}{\partial x} \left(\left(\mu + \frac{\mu_t}{\sigma_K} \right) \frac{\partial K}{\partial x} \right) + \frac{1}{r} \frac{\partial}{\partial r} \left(r \left(\mu + \frac{\mu_t}{\sigma_K} \right) \frac{\partial K}{\partial r} \right) + \mu_t G - \rho \varepsilon - D,$$

$$\rho \left(u \frac{\partial \varepsilon}{\partial x} + v \frac{\partial \varepsilon}{\partial r} \right) = \frac{\partial}{\partial x} \left(\left(\mu + \frac{\mu_t}{\sigma_\varepsilon} \right) \frac{\partial \varepsilon}{\partial x} \right) + \frac{1}{r} \frac{\partial}{\partial r} \left(r \left(\mu + \frac{\mu_t}{\sigma_\varepsilon} \right) \frac{\partial \varepsilon}{\partial r} \right) + c_1 f_1 c_\mu f_\mu \rho K G - \frac{c_2 f_2 \rho \varepsilon^2}{K} + E,$$

$$\rho c \left(u \frac{\partial T}{\partial x} + v \frac{\partial T}{\partial r} \right) = \frac{\partial}{\partial x} \left(\left(k + \frac{c \mu_t}{Pr_t} \right) \frac{\partial T}{\partial x} \right) + \frac{1}{r} \frac{\partial}{\partial r} \left(r \left(k + \frac{c \mu_t}{Pr_t} \right) \frac{\partial T}{\partial r} \right),$$

где $\mu_t = \frac{c_\mu f_\mu \rho K^2}{\varepsilon}$ - турбулентная вязкость, $S = 2 \frac{(\mu + \mu_t)v}{r^2}$, $G = 2 \left(\frac{v}{r} \right)^2 + 2 \left(\frac{\partial v}{\partial r} \right)^2 + 2 \left(\frac{\partial u}{\partial x} \right)^2 + \left(\frac{\partial u}{\partial r} + \frac{\partial v}{\partial x} \right)^2$,

$$D = 2\mu \left[\left(\frac{\partial \sqrt{K}}{\partial r} \right)^2 + \left(\frac{\partial \sqrt{K}}{\partial x} \right)^2 \right], \quad E = \frac{2\mu \mu_t}{\rho} \left[\left(\frac{\partial^2 v}{\partial r^2} \right)^2 + \left(\frac{\partial^2 v}{\partial x^2} \right)^2 + \left(\frac{\partial^2 v}{\partial r \partial x} \right)^2 + \left(\frac{\partial^2 u}{\partial r^2} \right)^2 + \left(\frac{\partial^2 u}{\partial x^2} \right)^2 + \left(\frac{\partial^2 u}{\partial r \partial x} \right)^2 \right],$$

$c_\mu = 0.09$, $c_1 = 1.44$, $c_2 = 1.92$, $\sigma_K = 1.0$, $\sigma_\varepsilon = 1.3$, $Pr_t = 0.9$ - эмпирические константы,

$f_\mu = \exp \left(- \frac{3.4}{(1 + Re_t / 50)^2} \right)$, $f_1 = 1$, $f_2 = 1 - 0.3 \exp(-Re_t^2)$ - эмпирические функции, $Re_t = \frac{\rho K^2}{\mu \varepsilon}$ - турбулентное число Рейнольдса.

Начальное приближение для температуры $T_0 = T_{in}$.

$$\text{Границные условия } T|_{x=0} = T_{in}, \quad \frac{\partial u}{\partial x}|_{x=L} = 0, \quad \frac{\partial v}{\partial x}|_{x=L} = 0, \quad \frac{\partial K}{\partial x}|_{x=L} = 0, \quad \frac{\partial \varepsilon}{\partial x}|_{x=L} = 0, \quad \frac{\partial T}{\partial x}|_{x=L} = 0, \quad u|_{r=R} = 0,$$

$$v|_{r=R} = 0, \quad K|_{r=R} = 0, \quad \varepsilon|_{r=R} = 0, \quad T|_{r=R} = T_w.$$

Начальные приближения и граничные условия для остальных переменных при $x = 0$ берутся из стабилизированного течения, которое является решением одномерной задачи

$$\frac{1}{r} \frac{d}{dr} \left(r \left(\mu + \mu_t \right) \frac{du}{dr} \right) = \frac{dp}{dx},$$

$$\frac{1}{r} \frac{d}{dr} \left(r \left(\mu + \frac{\mu_t}{\sigma_K} \right) \frac{dK}{dr} \right) + \mu_t G - \rho \varepsilon - D = 0,$$

$$\frac{1}{r} \frac{d}{dr} \left(r \left(\mu + \frac{\mu_t}{\sigma_\varepsilon} \right) \frac{d\varepsilon}{dr} \right) + c_1 f_1 c_\mu f_\mu \rho K G - \frac{c_2 f_2 \rho \varepsilon^2}{K} + E = 0$$

с граничными условиями

$$u|_{r=R} = 0, \quad K|_{r=R} = 0, \quad \varepsilon|_{r=R} = 0.$$

3. ЧИСЛЕННЫЙ МЕТОД

Задача считалась численно с помощью метода контрольного объёма и алгоритма SIMPLER [2]. Использовалась равномерная сетка в 2560×64 контрольных объёмов по x и r соответственно. Расчёты проводились с помощью релаксаций.

Вначале решалась одномерная задача, задавалось число Рейнольдса Re . Начальное приближение градиента давления вычислялось по формуле $\frac{dp}{dx} = - \frac{8 Re \mu^2}{\rho R^3}$, что соответствует аналитическому

решению для ламинарного случая. Начальное приближение для скорости выражалось из формулы

для числа Рейнольдса $u_0 = \frac{\mu Re}{\rho R}$. Начальное при-

ближение для k и ε бралось в виде $K = c_K u_0^2$, $\varepsilon = c_\varepsilon \frac{u_0^3}{R}$, где $c_K = 5 \cdot 10^{-3}$, $c_\varepsilon = 2.5 \cdot 10^{-4}$ - эмпирические константы.

Далее решалась система уравнений, и получалось некоторое распределение скорости. По фор-

муле $Re_{num} = \frac{2}{R \mu} \int_0^R \rho u r dr$ получалось число Рей-

нольдса и сравнивалось с заданным $f = \frac{Re}{Re_{num}}$.

Т.к. скорость пропорциональна числу Рейнольдса, то, умножив её на f , сразу получим заданное чи-

ло Рейнольдса. Но при этом $\frac{dp}{dx}$ не соответствует такой скорости, поэтому мы и его умножаем на f и снова повторяем всю процедуру, пока не получим сошедшегося решения.

Затем полученное решение одномерной задачи мы используем для задания начального приближения и граничных условий для двухмерной задачи.

4. РЕЗУЛЬТАТЫ

Все результаты приведены в безразмерном виде.

Таблица 1. Сравнение потерь

Re	$T_h = 40$	$T_h = 80$	$T_h = 120$	$T_h = 160$
1000	1.07071E+00	1.06675E+00	1.09841E+00	1.11741E+00
2000	1.03323E+00	1.03284E+00	1.04818E+00	1.04640E+00

Для сравнения потерь при различных режимах используется $e = \frac{(p|_{x=0} - p|_{x=L})/L}{-\frac{dp}{dx}}$ — отношение осреднённого градиента давления к градиенту давления из одномерного случая (т.е. без вставки). Из таблицы 1 видно, что увеличение температуры приводит к нелинейному изменению потерь. При $T_h = 80^\circ\text{C}$ потери меньше, чем при 40°C (т.е. когда теплофизические характеристики постоянны), а при 120°C — больше, чем при 40°C . Это можно объяснить, например, так. При увеличении температуры вязкость уменьшается, следовательно, уменьшается трение, а, значит, и потери. С другой стороны, при этом увеличивается турбулентная вязкость, а с ней и трение, и потери. Таким образом, возникает баланс между уменьшением ламинарной вязкости и увеличением турбулентной вязкости. При $T_h = 80^\circ\text{C}$ уменьшение ламинарной вязкости оказывается более значительным, чем увеличение турбулентной, а при 120°C — наоборот.

Поведение турбулентной вязкости вдоль трубы над вставкой ($r = R_l$) показано на рис. 2. Видно, что с увеличением температуры турбулентная вязкость увеличивается. При этом именно для $T_h = 80^\circ\text{C}$ вязкость после вставки минимальна.

Рис. 3 показывает, что для данного числа Рейнольдса над вставкой существует вихрь, который тоже может увеличивать потери на перекачку жидкости.

СПИСОК ОБОЗНАЧЕНИЙ

$R = 0.05, \text{м}$ — радиус трубы,

$L = 40R = 2, \text{м}$ — длина трубы,

$$R_l = \frac{R}{8} = 0.00625, \text{м} — \text{радиус вставки},$$

$$l_l = 4R_l = 0.025, \text{м} — \text{длина вставки},$$

$$L_l = 4R = 0.2, \text{м} — \text{положение вставки},$$

$$\rho = 868.2 \frac{\text{кг}}{\text{м}^3} — \text{плотность жидкости},$$

$$\mu = 8.94 \cdot 10^{-3} \exp[-2.1743 \cdot 10^{-2} (T - T_{in})] \text{ Па}\cdot\text{с} — \text{вязкость жидкости},$$

$$c = 1788 + 5.9125(T - T_{in}) \frac{\text{Дж}}{\text{кг}\cdot\text{°C}} — \text{теплоёмкость жидкости},$$

$$k = 0.109 + 8.5 \cdot 10^{-5} (T - T_{in}) \frac{Bm}{\text{м}\cdot\text{°C}} — \text{теплопроводность жидкости},$$

$$\rho_h = 7800 \frac{\text{кг}}{\text{м}^3} — \text{плотность вставки},$$

$$c_h = 800 \frac{\text{Дж}}{\text{кг}\cdot\text{°C}} — \text{теплоёмкость вставки},$$

$$k_h = 50 \frac{Bm}{\text{м}\cdot\text{°C}} — \text{теплопроводность вставки},$$

$$T_{in} = 40^\circ\text{C} — \text{температура на входе},$$

$$T_w = 40^\circ\text{C} — \text{температура на границе},$$

$$\text{температура } T_h \text{ на вставке менялась от } 40 \text{ до } 120^\circ\text{C},$$

$$x, \text{м} — \text{продольная координата},$$

$$r, \text{м} — \text{радиус},$$

$$u, \frac{M}{c} — \text{составляющая скорости вдоль продольной оси},$$

$$v, \frac{M}{c} — \text{составляющая скорости вдоль радиуса},$$

$$p, \text{Па} — \text{давление},$$

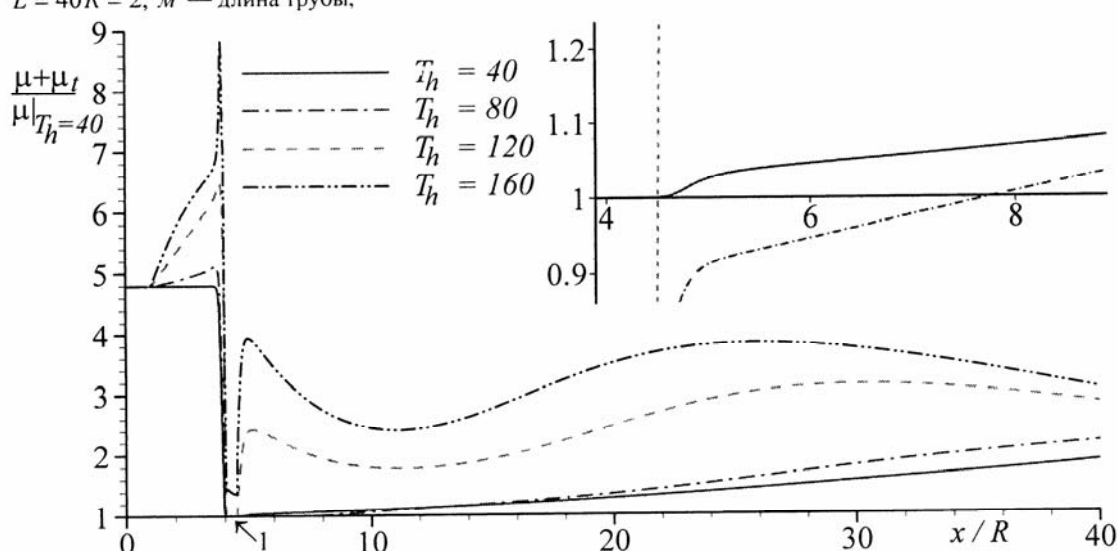


Рис. 2. Изменение турбулентной вязкости вдоль трубы. Здесь цифра 1 около оси обозначает вставку.

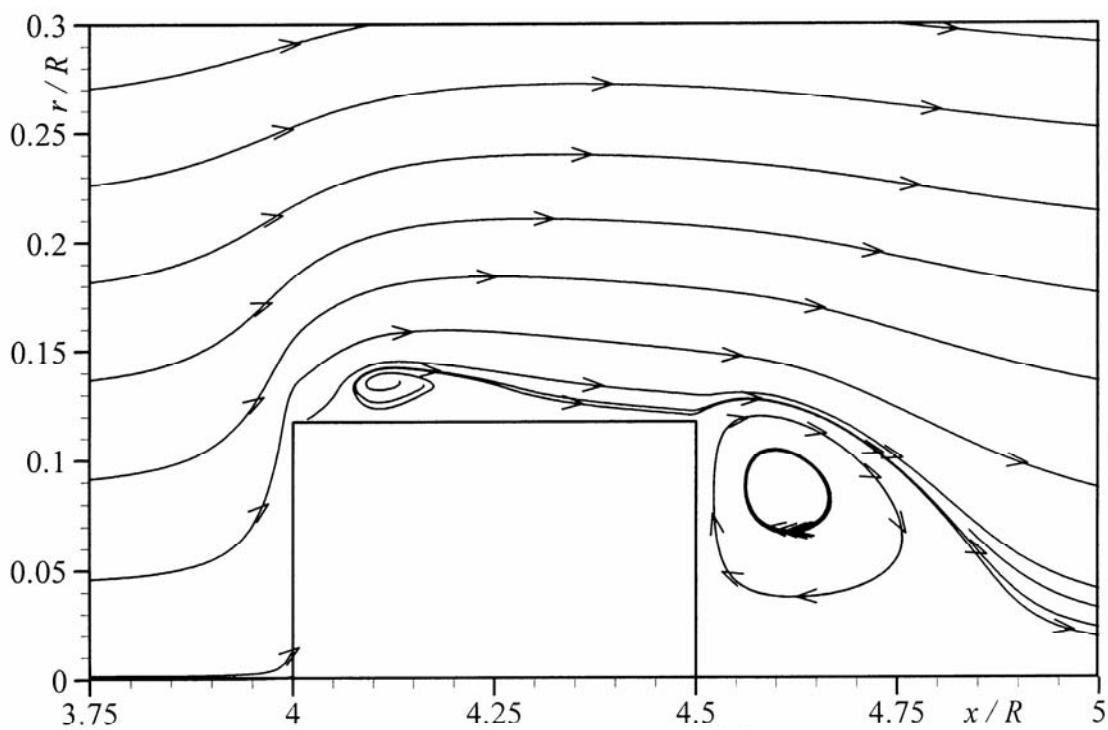


Рис. 3. Функция тока около вставки при турбулентном течении, $Re=2000$, $T_h = 80$.

μ_t , $\text{Па} \cdot \text{с}$ — турбулентная вязкость,

K , $\frac{M^2}{c^2}$ — кинетическая энергия турбулентных пульсаций,

ε , $\frac{K\tau \cdot M}{\text{Па} \cdot \text{с}^5}$ — диссипация турбулентной кинетической энергии.

СПИСОК ЛИТЕРАТУРЫ

1. Launder B.E. and Sharma B.I. Application of the energy-dissipation model of turbulence to the calculation of flow near a spinning disc. // Lett. Heat Mass Transfer, 1974, v. 1. P. 131 - 138.
2. Patankar S.V. Numerical Heat Transfer and Fluid Flow. New York: Hemisphere, 1980. 200 p. (Им. рус. перевод: Патанкар С.В. Численные методы решения задач теплообмена и динамики жидкости. М.: Энергоатомиздат, 1984. 152 с.)